

представляющий одно из специфических гидродинамических явлений при аварийных взрывах, можно использовать для соответствующих оценок. При этом надо иметь в виду, что зафиксировать размеры огненного шара с достаточной точностью обычно не удается. Свидетельства очевидцев, особенно людей, попавших в зону поражения огненного шара, субъективны и малодостоверны; поэтому ошибка в определении радиуса (а тем более массы топлива) может быть значительной. Напротив, величины  $\gamma_1$  и особенно  $\gamma_2$ , как правило, могут быть достаточно точно измерены непосредственно на местности, что дает возможность по результатам проведенного исследования определить и величину массы топлива.

Отметим, что масса пролитого горючего может существенно отличаться от массы, вовлеченной в энерговыделение. Действительно, в зависимости от условий образования и зажигания парового облака часть горючего может остаться в жидкому состоянии. Кроме того, в силу особенностей ландшафта облако может быть разделено на несколько частей, некоторые из них рассеятся без зажигания. В указанном смысле приведенные выше расчеты дают, очевидно, нижнюю оценку величины  $M$  пролитого горючего.

Аналогичным образом можно рассмотреть и другие характерные точки шкалы Бофорта. Соответствующие величины  $M_*$  могут быть использованы для классификации аварий по степени их разрушительных последствий.

#### ЛИТЕРАТУРА

1. Бейкер Ч., Коук П., Уэстайн П. и др. Взрывные явления. Оценка и последствия.— М.: Мир, 1986.
2. Маршалл В. Основные опасности химических производств.— М.: Мир, 1989.
3. Lees F. P. Loss prevention in the process industries.— L.: Butterworths, 1980.
4. Дубов А. С., Быкова Л. П., Марунич С. В. Тurbulentность в растительном покрове.— Л.: Гидрометеоиздат, 1978.
5. Хргиан А. Х. Физика атмосферы.— Л.: Гидрометеоиздат, 1978.
6. Махвиладзе Г. М., Мелихов О. И., Якуш С. Е. Турбулентный осесимметричный термик в неоднородной сжигаемой атмосфере. Численное исследование.— М., 1987.— (Препр./АН СССР. ИПМ; № 303).
7. Гостиццев Ю. А., Махвиладзе Г. М., Мелихов О. И. Вынос аэрозольных частиц в стратосферу горячим термиком // Изв. АН СССР. МЖГ.— 1987.— № 6.— С. 146.
8. Гостиццев Ю. А., Соловьев А. Ф., Лазарев В. В. и др. Турбулентный термик в стратифицированной атмосфере/АН СССР. ИХФ.— Препр.— Черноголовка, 1985.

г. Москва

Поступила в редакцию 1/VII 1991

УДК 539.375 : 539.219.2

Е. Г. Фатеев, В. П. Хан

#### НЕОДНОРОДНЫЙ МАССОПЕРЕНОС В ТВЕРДЫХ СПЛАВАХ В УСЛОВИЯХ РЕОЛОГИЧЕСКОГО ВЗРЫВА

Представлены экспериментальные исследования, свидетельствующие о том, что в процессе реологического взрыва твердые сплавы испытывают необратимые изменения, связанные с явлениями массопереноса при возбуждении импульса нагружения и аномально быстрых слоевых потоков отдельных фракций. Показано, что неоднородный массоперенос в процессе эффекта приводит к скачкообразному изменению характера протекания по материалу электрического тока.

Явление реологического взрыва (РВ)— это возбуждение аномально быстрого (скорость  $\sim 1$  км/с) квазижидкого течения взрывоподобно разрушенного твердого тела в критических полях сдвиговых напряжений, возникающих при относительно медленных нагрузлениях в открытых системах сжатия. Характерные времена нагружения системы с наковальнами Бриджмена до проявления РВ и времена процессов импульсного сжатия с аномальным течением вещества в момент РВ существенно от-

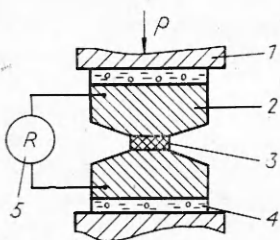


Рис. 1. Система сжатия, используемая для возбуждения РВ.

личаются и соответствуют  $\sim 10^2$  и  $\sim 10^{-6}$  с [1, 2]. В условиях одноосного сжатия в [1] наблюдались такие эффекты с оксидами металлов, полимерными материалами, полупроводниками и диэлектриками.

При реологическом взрыве происходят значительные структурные изменения. Так, в [2] обнаружена сильная степень ориентации разрушенного в РВ материала; кристаллиты были веерообразно вытянуты от центра к краю дискообразного образца. В работе [3] описан подобный эффект ориентации полимерных волокон и «клластерных блоков» в пластиках. Наблюдения структурных изменений в материалах приводят к выводу, что после РВ тело насыщается сетчатыми структурами с многочисленными трещинами, параллельными плоскостям наковален [2]. При снятии нагрузки с образца, испытавшего РВ, грани «спеченных» дисперсно разупорядоченных частиц разрушенного тела (напоминающих плоские эллипсоиды с толщиной  $\sim 1$  мкм) оказываются с наибольшей концентрацией дефектов и большими внутренними напряжениями, из-за чего по этим местам происходят расслоения в теле.

В настоящей работе приводятся экспериментальные данные, свидетельствующие о том, что в процессе РВ твердые сплавы (на примере двухкомпонентных  $\text{GeSe}_2$  и  $\text{SiTe}_4$ ) испытывают радикальные и необратимые изменения, связанные с массопереносом при возбуждении в РВ импульса нагрузления и аномально быстрых слоевых потоков отдельных фракций. Такой характер массопереноса ведет к скачкообразному изменению в момент РВ характера протекания по образцу электрического тока.

Схема эксперимента приведена на рис. 1. Исследуемые образцы 3 в дисперсном виде (характерный размер частиц  $\sim 2-7$  мкм) подвергались медленному одноосному сжатию со скоростью  $\sim 0,1$  ГПа/с между наковальнями 2, изготовленными из твердого сплава ВК-8 с диаметром рабочей плоскости 5 мм. Активные части пресса 1 и наковальни отделялись тефлоновыми прокладками 4 для создания возможности измерения омметром 5 (типа ЩЗ8) сопротивления образца. Схема пресса аналогична описанному в [2]. Давление определяли по манометру, предварительно проградуированному манганиновым датчиком.

Анализ характера массопереноса проводился с использованием оже-спектрометра JAMP-10S высокого разрешения и анализатора типа цилиндрического зеркала, в котором анализ поверхности вели методом оже-электронной спекроскопии. Поток возбуждающих электронов с энергией 3 КэВ, током 0,1 мкА и диаметром 10 мкм падал на поверхность образца под углом  $70^\circ$  относительно нормали к поверхности, для уменьшения электронно-стимулированных эффектов и зарядки образца. Вакуум в оже-спектрометре был не хуже  $\sim 2 \cdot 10^{-7}$  Па.

При выяснении характера массопереноса в сплавах, испытавших РВ, проведены исследования относительного распределения отдельных компонентов на поверхности дискообразных образцов из  $\text{GeSe}_2$ ,  $\text{As}_2\text{Se}_3$ ,  $\text{SiTe}_4$  в различных стадиях сжатия и после испытания ими РВ. Исследовался также кристаллический сплав  $\text{GeSe}_2$ , в котором РВ возбуждается при критических давлениях  $p_{\text{кр}} \sim 2,5 \pm 0,3$  ГПа.

В результате оже-анализа получено изображение отношения концентраций элементов сплава в точках образца, расположенных по его диагонали. На рис. 2 видно, что в самой критической стадии сжатия перед РВ существуют области, как обогащенные, так и обедненные на 5—7 % тем или иным элементом. Такие же отклонения, но более выраженные, имеются в образце после РВ, однако с аномально богатым содержанием Se, доходящим до  $\sim 15-20$  % на периферии диска. Для контроля приведены

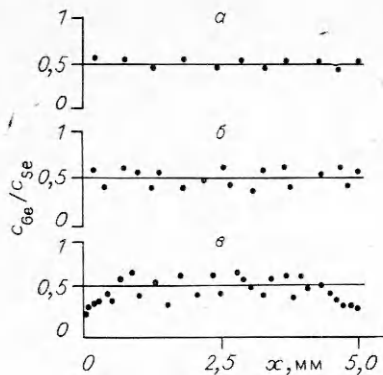


Рис. 2. Отношение атомных концентраций Ge и Se в различных точках поверхности дискообразного образца, испытавшего три степени сжатия.  $p$ , ГПа: *a* — 0,5, *б* — 2,0, *в* — 2,5 (с возбуждением РВ).

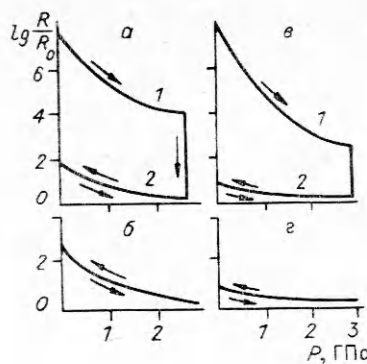


Рис. 3. Зависимости логарифма относительного сопротивления от давления. 1 — при нагружении; 2 — цикл нагружение — разгружение после РВ. *а* — GeSe<sub>2</sub>,  $R = 10 \text{ Ом}$ ; *б* — Ge,  $R = 0,3 \text{ Ом}$ ; *в* — SiTe<sub>4</sub>,  $R = 0,2 \text{ Ом}$ ; *г* — Te,  $R = 5 \cdot 10^{-3} \text{ Ом}$ .

подобные наблюдения с образцом, испытавшим малые деформации (рис. 2, *а*), достаточные только для компоновки порошка сплава в монолит между наковальнями при  $p \approx 0,5$  ГПа. В последнем случае отклонения от средней линии распределения для сплава GeSe<sub>2</sub> не превышали статистических ( $\sim 0,3\%$ ).

Описанные наблюдения дополняют измерения электрического сопротивления в дискообразных образцах сплавов GeSe<sub>2</sub> и SiTe<sub>4</sub> в соответствующих стадиях сжатия. Полученные в процессе экспериментов с РВ зависимости логарифма относительного сопротивления от давления на наковальнях представлены на рис. 3 (здесь  $R_0$  — минимальное сопротивление в процессе сжатия). Для того и другого сплава при сжатии между наковальнями типично плавное падение сопротивления до  $p_{kp}$ , а затем скачкообразное на 4—6 порядков в момент взрыва. После РВ при полном снятии давления на образец сопротивление повышается только на порядок. И далее, в циклах нагружения — разгружения системы наковален с образцом, испытавшим РВ, сопротивление стабилизируется кривой 2, которая на 4—6 порядков ниже, чем до взрыва. Можно заметить, что кривые 2 на рис. 3 для обоих сплавов напоминают найденные при сжатии между наковальнями без РВ элементарных поликристаллических Ge и Te соответственно. Совпадение имеется и по порядку величин сопротивлений. Такой характер протекания тока в образце легко объясняется, как показано выше, возникновением в теле в процессе РВ многочисленных неоднородностей типа включений, обогащенных тем или иным элементом из-за неоднородного массопереноса. В отличие от структурно-фазовых неоднородностей, происходящих в твердых телах при гидростатическом сжатии, неоднородности после РВ возникают в необратимых процессах, поэтому при декомпрессии образцы не релаксируют к структуре до РВ. Отсутствие релаксации ясно видно из рис. 2 и 3.

Неоднородный массоперенос элементов в сплавах в условиях одностороннего сжатия между наковальнями, где реализуется весьма сложное поле механических напряжений [4], может возникать, когда миграционные потоки атомов направлены так, чтобы компенсировать эту неоднородность [5, 6]. При этом атомные вакансии могут мигрировать в противоположную сторону [7]. Из-за различной подвижности атомов соотношение потоков мигрирующих компонентов не пропорционально отношению элементов в сплавах. Благодаря этому в условиях предкрических деформаций на границах различных макродефектов могут образоваться области, обогащенные тем или иным элементом. Заметим, однако, что в процессе РВ, очевидно, протекают еще более радикальные эффекты массопереноса, о чем может свидетельствовать существование

аномально высокого обогащения селеном края дискообразного образца после РВ (см. рис. 2, в).

Действительно, при диссипации энергии в динамическом нагружении образца, инициированного РВ, возможны значительные локальные перегревы в материалах [8], что в сочетании со сверхбыстрым течением вещества между наковальнями [2] может привести к фракционированию элементов в сплавах с размерами неоднородностей, большими, чем до взрыва. Этим, в свою очередь, легко объясняется более сильный вынос скоплений селена к краю диска в условиях РВ, поскольку из-за его легкоплавкости (температуры плавления Se и Ge составляют  $\sim 490$  и  $\sim 1210$  К соответственно) закономерна его большая подвижность в квазижидких потоках вещества между наковальнями. Реологическая же природа течения твердого материала в открытых системах сжатия при импульсном нагружении возможна, как показано в [9], из-за резкого падения сопротивления межзеренному проскальзыванию и возникновения нового эффективного канала вязкого течения по внутренним границам раздела. При этом могут происходить локальные разогревы этих границ с эффектами деформационно-стимулированного увеличения коэффициентов зернограницной диффузии. Этот механизм в сочетании со звуковыми скоростями фракционирующихся элементов в твердых смесях реагентов может играть решающую роль в сверхбыстрых химических взаимодействиях в условиях РВ, описанных в работах [10, 11].

Таким образом, проведенные исследования распределения элементов в твердых сплавах показали, что в процессе реологического взрыва протекают необратимые изменения, связанные с эффектами неоднородного массопереноса, как в виде миграций отдельных атомов, так и при быстрых слоевых течениях, обогащенных каким-либо элементом.

Авторы искренне признательны В. В. Меньшикову за помощь при изготовлении оснастки и С. П. Сентемову за оже-анализ образцов.

#### ЛИТЕРАТУРА

1. Bridgman P. W. Effects of high shearing streams combined with high hydrostatic pressure // Phys. Rev.—1935.—48, N 15.—P. 825.
2. Ярославский М. А. Реологический взрыв.—М.: Наука, 1982.
3. Александров А. И., Гаспарян Э. Э., Свистунов В. С. и др. Образование ориентированных кластерных систем при механическом взрыве // Докл. АН СССР.—1990.—314, № 3.—С. 648.
4. Левитас В. И. Большие упруго-пластические деформации материалов при высоком давлении.—Киев: Наук. думка, 1987.
5. Либшиц И. М. К теории диффузионно-вязкого течения поликристаллических тел // ЖЭТФ.—1963.—44, № 4.—С. 1349.
6. Бокай А. С. Поликластерные аморфные тела.—М.: Энергоатомиздат, 1987.
7. Кирсанов В. В., Кислицин С. Б., Кислицина Е. М. Влияние неоднородных полей напряжений на процессы миграций точечных дефектов // ЖТФ.—1988.—58, № 7.—С. 1440.
8. Хан В. П., Фатеев Е. Г. Корреляция диаграммы состояний с критическим давлением взрывных эффектов в твердых растворах Ge—Se при сильном сжатии // Письма в ЖТФ.—1990.—16, № 8.—С. 81.
9. Краснощеков Ю. И., Кузнецов Л. К., Перевезенцев В. И. и др. К теории аномальной пластичности материалов при высокоскоростной деформации // Докл. АН СССР.—1990.—312, № 4.—С. 872.
10. Ениколопян И. С., Мхитарян А. А., Карагезян А. С. и др. Критические явления при взрыве твердых тел под высоким давлением // Там же.—1987.—292, № 4.—С. 887.
11. Ениколопян И. С., Вольева В. Б., Хзарджян А. А. и др. Взрывные химические реакции в твердых телах // Там же.—1987.—292, № 5.—С. 1165.

г. Ижевск

Поступила в редакцию 29/X 1989,  
после доработки — 30/VII 1991